

B-样条曲线的节点去除与光顺^{*}

满家巨^{1,2}, 胡事民^{1,3}, 雍俊海^{1,3}, 孙家广^{1,3}

¹(清华大学 国家CAD工程中心, 北京 100084);

²(浙江大学 应用数学系, 浙江 杭州 310027);

³(清华大学 计算机科学与技术系, 北京 100084)

E-mail: shimin@tsinghua.edu.cn

http://ncc.cs.tsinghua.edu.cn

摘要: 研究了B-样条曲线节点的去除问题, 简化了B-样条曲线内部节点精确去除的充要条件. 基于约束优化方法, 通过扰动B-样条曲线的控制顶点, 给出了节点去除的一个新算法, 并用于光顺B-样条曲线.

关键词: B-样条曲线; 节点插入; 节点去除; 光顺; 约束优化

中图法分类号: TP391 **文献标识码:** A

B-样条曲线曲面已在计算机辅助设计与图形学中得到了广泛的应用. B-样条曲线曲面保留了Bezier曲线曲面的优点, 采用控制顶点定义曲线曲面, 同时引进B-样条基函数表示多项式曲线, 使其具有局部性质, 能描述复杂形状, 并且解决了采用Bézier样条所带来的拼接问题.

B-样条曲线有着一整套完整的算法, 其中一个重要的算法便是节点插入算法. 通过节点插入, 可改善曲线的局部性质, 得到B-样条曲线的分段Bézier表示, 但它同时也引入了冗余数据. 与之相反的问题是节点的去除问题, 通过节点去除可以减少冗余的数据, 节点去除算法也可以用于曲线的光顺问题. 不过, 去除节点通常会改变原样条曲线的形状, 因此, 节点去除问题通常是一个逼近问题.

Lyche和Morken^[1,2]基于整体逼近给出了一个B-样条曲线一次去除多个节点的算法; Tiller^[3]也给出了在计算机容许的误差内一次去除多个节点的算法; Kjellander^[4], Farin^[5], Sapidis和Farin^[6]等人分别基于三次B-样条曲线的局部构造, 讨论节点去除算法, 并用于三次样条曲线的局部光顺; Eck^[7]则基于曲线的局部结构研究节点去除算法, 并给出了在离散的 L_2 逼近、离散的 L_∞ 逼近、连续的 L_∞ 逼近下的结果.

本文从几何上考虑B-样条曲线的节点去除问题, 通过扰动曲线的控制顶点, 实现B-样条曲线的节点去除算法和B-样条曲线的光顺算法.

1 节点插入与节点删除的关系

B-样条曲线的节点插入算法增加了控制顶点个数, 但不改变曲线的形状, 给定正整数 $k, n, n \geq$

* 收稿日期: 1999-07-14; 修改日期: 1999-10-27

基金项目: 国家自然科学基金资助项目(69902004); 浙江省自然科学基金资助项目(198022)

作者简介: 满家巨(1967-), 男, 湖南人, 博士生, 主要研究领域为计算机辅助几何设计; 胡事民(1968-), 男, 浙江人, 博士, 副教授, 主要研究领域为计算机辅助几何设计, 计算机图形学, 面向内容图形图像检索; 雍俊海(1973-), 男, 福建人, 博士生, 主要研究领域为计算机辅助几何设计, 计算机图形学; 孙家广(1946-), 男, 江苏人, 教授, 博士生导师, 中国工程院院士, 主要研究领域为计算机图形学, CAD/CAM, 产品数据管理.

k 以及一个非减的节点序列:

$$T = \{t_0, t_1, \dots, t_{r-1}, t_r, t_{r+1}, \dots, t_{n+k}\}, \quad (1)$$

其中每个节点的重数不超过 k , 则以 $\{d_i\}_{i=0}^n$ 为控制顶点, 定义在节点序列 T 上的 k 阶 B-样条曲线可表示成

$$x(t) = \sum_{i=0}^n d_i N_{i,k,T}(t), \quad t \in [t_{k-1}, t_{n+1}], \quad (2)$$

其中 $N_{i,k,T}(t)$ 表示定义在节点向量 T 上的 B 样条基函数.

考虑以 $\{\bar{d}_i\}_{i=0}^n$ 为控制顶点, 定义在节点序列 $\bar{T} = T \setminus \{t_r\}$ 上的 k 阶 B-样条曲线:

$$\bar{x}(t) = \sum_{i=0}^{n-1} \bar{d}_i N_{i,k,T}(t), \quad t \in [t_{k-1}, t_{n-1}],$$

如果 $x(t)$ 是由 $\bar{x}(t)$ 插入内部节点 t_r 之后得到的曲线, 即 $x(t) = \bar{x}(t)$, 则一定存在下述关系:

$$d_i = \begin{cases} \bar{d}_i, & 0 \leq i \leq r-k+v-1; \\ (1-l_{k-r+i})\bar{d}_{i-1} + l_{k-r+i}\bar{d}_i, & r-k+v \leq i \leq r-1; \\ \bar{d}_{i-1}, & r \leq i \leq n, \end{cases} \quad (3)$$

其中 v 是节点 t_r 在节点序列 T 中的重数, $l_j = \frac{t_r - t_{r-k+j}}{t_{r+j} - t_{r-k+j}}, v-1 \leq j \leq k$.

因此, 向节点序列 $\bar{T} = T \setminus \{t_r\}$ 中插入节点 t_r , 则新的控制顶点 d_i 可根据给定的 \bar{d}_i 从方程组 (3) 中给出. 反过来, 如果希望从 T 中去除内部节点 t_r , 则根据给定控制顶点 d_i , 要解出未知的 \bar{d}_i , 这时, 我们必须解一个超限方程组:

$$\begin{cases} \bar{d}_i = d_i, & 0 \leq i \leq r-k+v-1; \\ (1-l_{k-r+i})\bar{d}_{i-1} + l_{k-r+i}d_i = d_i, & r-k+v \leq i \leq r-1; \\ \bar{d}_i = d_{i+1}, & r-1 \leq i \leq n-1. \end{cases} \quad (4)$$

通常, 该方程组是不相容的, 只有逼近解; 当且仅当它是一个相容方程组时, 才有一个精确解. 所以, 作为节点插入的反问题, 节点去除是一个逼近问题.

2 不相容性的克服

如果从方程组 (4) 中去掉一个方程, 则剩下的方程组可解. 我们可以得到如下两组解:

$$\bar{d}_i^I = \begin{cases} d_i, & 0 \leq i \leq r-k+v-1; \\ \frac{1}{l_{k-r+i}} d_i + \left(1 - \frac{1}{l_{k-r+i}}\right) d_{i-1}^I, & r-k+v \leq i \leq r-1; \\ d_{i+1}, & r \leq i \leq n-1, \end{cases} \quad (5)$$

$$\bar{d}_i^{II} = \begin{cases} d_i, & 0 \leq i \leq r-k+v-2; \\ \left(1 - \frac{1}{l_{k-r+i}}\right) d_{i+1} + \frac{1}{l_{k-r+i+1}} d_{i+1}^{II}, & r-k+v-1 \leq i \leq r-r; \\ d_{i+1}, & r-1 \leq i \leq n-1. \end{cases} \quad (6)$$

为了克服式 (4) 的不相容性, 引入了权系数, 作式 (5) 和式 (6) 的线性组合运算, 得到

$$d_i = \begin{cases} d_i, & 0 \leq i \leq r-k+v-2; \\ (1-\alpha_{k-r+i})d_i^I + \alpha_{k-r+i}d_i^{II}, & r-k+v-1 \leq i \leq r-1; \\ d_{i+1}, & r \leq i \leq n-1. \end{cases} \quad (7)$$

于是,问题转化为如何适当地选择权系数,使得由 $\{\bar{d}_i\}_{i=0}^k$ 定义在节点序列 $\bar{T} = T \setminus \{t_r\}$ 上的 B 样条曲线在某种意义上最佳逼近原曲线的问题.

文献[5]给出了当 $k=4$ 时几种可能的选择. 文献[7]则从更一般的角度,给出在离散 L_2 逼近、离散 L_∞ 逼近、连续 L_∞ 逼近的意义下选择权系数的方法.

根据以上讨论,传统的节点去除算法的步骤如下:

- (1) 按式(5)和式(6)计算 $\{\bar{d}_i\}$ 和 $\{\bar{d}'_i\}$;
- (2) 按某种选择方案计算权系数;
- (3) 按式(7)计算新控制顶点 $\{d_i\}$.

3 扰动控制顶点的约束优化方法

不妨假设对原曲线的若干控制顶点进行小扰动,使得节点 t_r 可以从新曲线的节点序列中精确去除,则扰动曲线可作为我们所需的逼近解. 上述想法也相当于扰动方程组(4)的常数项,使得该方程组成为一个相容方程组.

为叙述方便起见,我们先引入如下记号:

设 $\{l_i\}$ 是一组实数, $j \leq k$ 是两个非负整数,定义

$$\begin{bmatrix} k \\ j \end{bmatrix} = \begin{cases} \prod_{i=j}^{k-1} \frac{1-l_{i+1}}{l_i}, & j \leq k \\ 1, & j = k \end{cases} \quad (8)$$

注意到 $l_{v-1}=1, l_k=0$, 由方程组(4)的前 r 个方程经过简单计算可得:

$$\bar{d}_{r-1} = - \sum_{j=v-1}^{k-1} (-1)^{k-j} \begin{bmatrix} k \\ j \end{bmatrix} d_{r-k+j}.$$

另外,由第 $r+1$ 个方程有 $\bar{d}_{r+1} = d_r$, 因此,要使方程组(4)成为相容方程组的充要条件是

$$d_r = - \sum_{j=v-1}^{k-1} (-1)^{k-j} \begin{bmatrix} k \\ j \end{bmatrix} d_{r-k+j}, \quad (9)$$

即

$$\sum_{j=v-1}^k (-1)^{k-j} \begin{bmatrix} k \\ j \end{bmatrix} d_{r-k+j} = C. \quad (10)$$

由于我们利用了 $l_{v-1}=1, l_k=0$, 因此与文献[7]中的式(11)相比,本文定义的式(8)更简明,且便于编程计算,因而也简化了 Eck^[7] 给出的内节点精确去除的充要条件.

式(10)一般不成立,因此我们扰动顶点序列 $\{d_{r-k+i}\}_{i=v-1}^k$ 为 $\{d_{r-k+i} + \varepsilon_i\}_{i=v-1}^k$, 使得式(10)成立.

我们的极小目标是 $\sum_{i=v-1}^k \|\varepsilon_i\|^2$, 其中 $\|\cdot\|$ 表示 Euclid 范数. 为此,构造 Lagrange 数乘函数:

$$L = \sum_{i=v-1}^k \|\varepsilon_i\|^2 + \lambda \sum_{i=v-1}^k (-1)^{k-i} \begin{bmatrix} k \\ i \end{bmatrix} (d_{r-k+i} + \varepsilon_i), \quad (11)$$

这里, λ 为 Lagrange 乘子, 令 $\frac{\partial L}{\partial \varepsilon_i} = 0, \frac{\partial L}{\partial \lambda} = 0$, 我们有

$$\begin{cases} 2\varepsilon_i (-1)^{k-i} \begin{bmatrix} k \\ i \end{bmatrix} \lambda = 0, & v-1 \leq i \leq k \\ \sum_{j=v-1}^k (-1)^{k-j} \begin{bmatrix} k \\ j \end{bmatrix} (d_{r-k+j} + \varepsilon_j) = 0 \end{cases}, \quad (12)$$

解此方程组可得

$$\epsilon_i = -\frac{(-1)^{k-i} \begin{bmatrix} k \\ i \end{bmatrix}}{\sum_{j=v-1}^k \begin{bmatrix} k \\ j \end{bmatrix}} \sum_{j=v-1}^k (-1)^{k-j} \begin{bmatrix} k \\ j \end{bmatrix} d_{v-k+j}, \quad v-1 \leq i \leq k. \quad (13)$$

因此,节点去除算法可按如下步骤进行:

- (1) 根据式(13)计算 $\{\epsilon_i\}_{i=v-1}^k$;
- (2) 对 $v-1 \leq i \leq k$, 执行 $d_{v-k+i} \leftarrow d_{v-k+i} + \epsilon_i$;
- (3) 根据式(5)计算新控制顶点 $\{\bar{d}_i\}_{i=0}^n$.

与上一节的方法比较,显然,本节的方法更直观,而且计算量要小得多.图1给出了一个节点去除的例子.定义在节点序列 $\{0, 1, 2, 3, 4, 5, 6, 7, 8, 9, 10, 11\}$ 上的两条四阶 B-样条曲线及其控制多边形用实线表示,去除节点 $t_4=4$ 后的逼近样条曲线及其控制多边形用虚线表示.

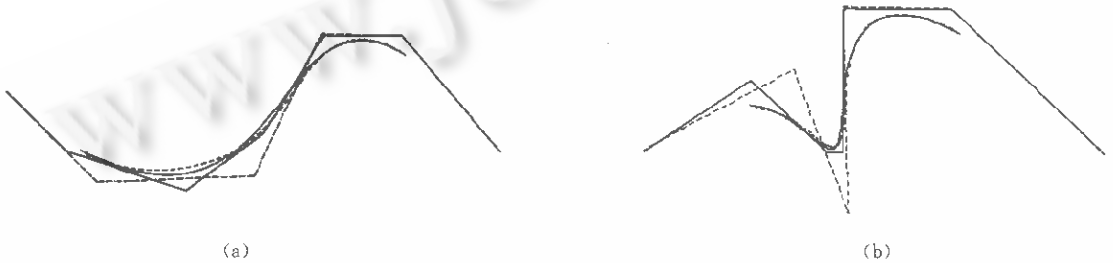


Fig.1 Knot-Removed of B-Spline curves

图1 B-样条曲线节点去除

为了增强局部控制特性,我们可以增加约束条件,例如, $\epsilon_{v-1} = \epsilon_k = 0$, 然后求解扰动系数.这种局部控制能力是很重要的,因为在很多应用中,常常只允许改变一部分数据,有时甚至只允许改变一个控制点.

4 节点去除与 B 样条光顺

文献[5]提出的 B-样条光顺方法是先去除节点,然后再重新插入该节点一次.这是因为,经过上述处理后,B-样条曲线在该节点的光滑度提高一次,其主要步骤可描述如下:

- (1) 按某种判定法则决定需要进行光顺的内部节点;
- (2) 在该节点处执行节点去除算法;
- (3) 对该节点执行节点插入算法.

对某个内部节点 t_i ,按上一节方法扰动控制顶点,使得曲线扰动后,该节点 t_i 可以从节点序列中精确去除.这就是说,曲线在该节点的光滑度得到提高,因而达到了光顺的目的,但我们并不真正进行节点去除与插入,于是我们可以得到如下的光顺方法:

- (1) 按某种判定法则决定需要进行光顺的内部节点;
- (2) 扰动控制顶点,扰动量根据式(13)计算.

由于省略了节点去除和节点插入过程,只对部分控制顶点计算扰动量,因而本文的方法大大减少了 Farin 光顺方法的计算量.

5 结 论

本文讨论了 B-样条曲线节点的问题, 充分利用 B-样条曲线控制顶点的优点, 直接扰动控制顶点以达到去除节点的目的, 并给出一个简单的样条曲线光顺方法. 本文去除节点的方法显然可以直接应用到样条曲面, 但并不能直接用于样条曲面的光顺, 因为先在 u 方向去除一个节点再在 v 方向去除一个节点之后, 并不能使曲面达到 k 次光滑.

References:

- [1] Lyche, T., Morken, K. Knot removal for parametric B-spline curves and surfaces. *Computer Aided Geometric Design*, 1987, 4(3):217~230.
- [2] Lyche, T., Morken, K. A data reduction strategy for splines with application to the approximation of function and data. *IMA Journal of Numerical Analysis*, 1988, 8(2):185~208.
- [3] Tiller, W. Knot-removal algorithms for NURBS curves and surfaces. *Computer Aided Design*, 1992, 24(8):445~453.
- [4] Kjellander, J. Smoothing of cubic parametric splines. *Computer Aided Design*, 1983, 15(3):175~179.
- [5] Farin, G., Rein, G., Sapidis, N., et al. Fairing cubic B-spline curves. *Computer Aided Geometric Design*, 1987, 4(1~2):91~103.
- [6] Sapidis, N., Farin, J. Automatic fairing algorithm for B-spline curves. *Computer Aided Design*, 1990, 22(2):121~129.
- [7] Eck, M., Hadenfeld, J. Knot-removal for B-spline curves. *Computer Aided Design*, 1995, 12(3):259~282.

Knot-Removal and Fairing of B-Spline Curves

MAN Jia ju^{1,2}, HU Shi min^{1,3}, YONG Jun-hai^{1,3}, SUN Jia-guang^{1,2}

¹(National CAD Engineering Center, Tsinghua University, Beijing 100084, China);

²(Department of Applied Mathematics, Zhejiang University, Hangzhou 310027, China);

³(Department of Computer Science and Technology, Tsinghua University, Beijing 100084, China)

E-mail: shimin@tsinghua.edu.cn

http://ncc.cs.tsinghua.edu.cn

Received July 14, 1999; accepted October 27, 1999

Abstract: The problem of knot-removal for B-spline curves is investigated in this paper. The sufficient and necessary condition for removing knots of B-spline curves exactly is simplified. Based on the constrained optimization method, a new algorithm of knot-removal is derived by perturbing the control points of B-spline curves. This method can also be used to fair B-spline curves.

Key words: B-spline curve; knot-insert; knot-removal; fairing; constrained optimization